



# **Disperzní chyby B-spline varianty metody konečných prvků**

**Ing. Radek Kolman, Ph.D.**

Ústav termomechaniky AV ČR, v. v. i.  
Praha

SIGA 2011  
Spliny a IsoGeometrická Analýza 2011  
9. únor 2011  
Ústav termomechaniky AV ČR, v. v. i., Praha



# Obsah

---

- Šíření elastických vln v 1D kontinuu
- Pojem disperze
- Metoda konečných prvků
  - Lagrangeovy polynomy - klasická varianta
  - B-spline bázové funkce
- Výsledky disperzní analýzy
  - Vliv stupně splinů
  - Vliv počtu řídících bodů
  - Vliv parametrizace (linearní versus nelinearní)
- Porovnaní výsledků disperzní analýzy pro B-spline a klasickou variantu MKP
- Závěr



# Šíření elastických vln v 1D kontinuu

---

Achenbach, J.D. *Wave propagation in Elastic Solids*. North-Holland Publishing Comp., American Elsevier Publishing Comp., Inc., New York, 1973.

Pohybová rovnice - vlnová rovnice

$$E \frac{\partial^2 u}{\partial x^2} = \rho \frac{\partial^2 u}{\partial t^2}, \quad x \in (-\infty, \infty), \quad t \in \langle 0, \infty \rangle$$

$E$  je Youngův modul pružnosti,  $\rho$  je hustota.

Rychlosť vln v tyči

$$c_0 = \sqrt{E/\rho}$$

Vlnové řešení – monochromatická vlna

$$u(x, t) = U \exp[i(kx \pm \omega t)]$$

Vlnová délka, vlnové číslo

$$k = \frac{2\pi}{\lambda}$$



# Šíření elastických vln v 1D kontinuu

---

Achenbach, J.D. *Wave propagation in Elastic Solids*. North-Holland Publishing Comp., American Elsevier Publishing Comp., Inc., New York, 1973.

Fázová rychlosť

$$c = \frac{\omega}{k}$$

Grupová rychlosť

$$c_g = \frac{d\omega}{dk}$$

Disperzní zákon

$$\omega = \omega(k)$$

Konstantním  $E$ ,  $\rho$  odpovídá bezdisperzní kontinuum  $\Rightarrow$  lineární disperzní zákon

$$c = c_g = c_0 = \text{const} \quad \Rightarrow \quad \omega = c_0 k$$

Diskretizovaný systém, disperzní zákon je nelineární a obecně platí

$$c = \frac{\omega(k^h)}{k^h} \neq c_0 \quad \text{a} \quad c_g = \frac{d\omega(k^h)}{dk^h} \neq c_0$$



# Metoda konečných prvků - 1D

---

Spojitá Galerkinova aproximační metoda.

Prostorová diskretizace

$$u^e(\xi) = \mathbf{H}(\xi)\mathbf{u}^e, \quad \mathbf{u}^e - \text{vektor uzlových, popř. řídících hodnot}$$

kde  $\mathbf{H}$  je matice tvarových funkcí a  $\mathbf{B}$  je matice derivací tvarových funkcí.

Pohybová rovnice pro diskretizovaný systém

$$\mathbf{M}\ddot{\mathbf{u}}^h + \mathbf{K}\mathbf{u}^h = \mathbf{0}, \quad \mathbf{M} = \int_h \varrho \mathbf{H}^\top \mathbf{H} \, dx, \quad \mathbf{K} = \int_h E \mathbf{B}^\top \mathbf{B} \, dx$$

Matice hmotnosti  $\mathbf{M}$ :

- konzistentní
- diagonální (lumped mass matrix)
  - metoda řádkových součtů (row-sum method)
  - škálovací metoda (HRZ method)



# Klasická MKP - 1D úloha

Lagrangeovy polynomy

$$h_i(\xi) = \prod_{j \neq i} \frac{\xi - \xi_i}{\xi_j - \xi_i}, \quad \forall i, j \in \{1, 2, \dots, p+1\}, \quad \xi_i - \text{poloha uzlu, rovnoměrné dělení}$$

Vlastnost Lagrangeových polynomů

$$h_i(\xi_j) = \delta_{ij}$$

Gaussův-Legendrův kvadraturní vzorec

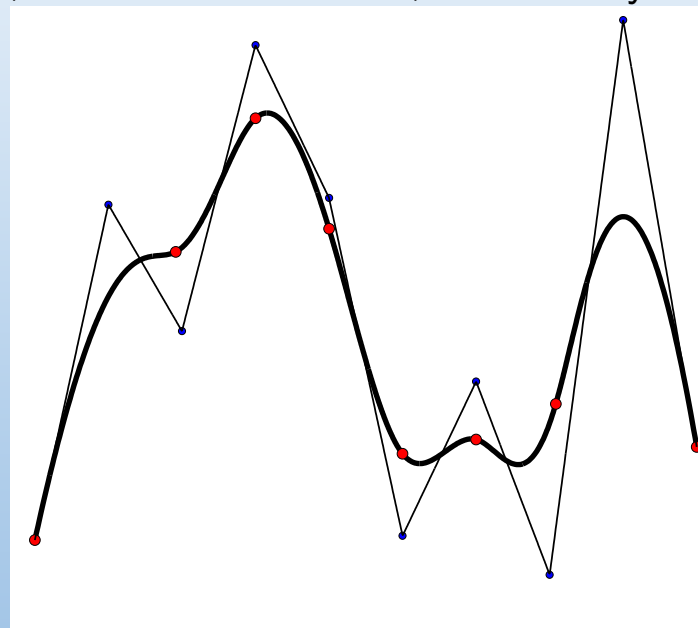
$$\int_{-1}^1 f(\xi) d\xi = \sum_{i=1}^n w_i f(\tilde{\xi}_i), \quad \tilde{\xi}_i - \text{integrační body} = \text{kořeny Legendrových polynomů } P_n$$

$$\tilde{\xi}_i \neq \xi_i, \forall i \in \{1, 2, \dots, p+1\}, \quad p - \text{stupeň polynomu}$$

# B-spline křivka

B-spline křivka - parametricky popsána po částech spojitá polynomiální křivka stupně  $p$ . V uzlových bodech (v místech napojení segmentů) vykazuje  $C^{p-1}$  spojitosť. Násobností uzelů je možné ovlivňovat stupeň spojitosti.

stupeň  $p = 3$ , řídících bodů  $n = 10$ , rovnoměrný uzlový vektor



Zobecněním B-spline křivek jsou NURBS křivky - zavedením vah řídících bodů.



# B-spline křivka

---

B-spline křivka je dána vektorovou rovnicí

$$\mathbf{C}(\xi) = \sum_{i=1}^n N_{i,p}(\xi) \mathbf{P}_i,$$

kde  $\mathbf{P}_i$ ,  $i = 1, \dots, n$  jsou souřad. řídících bodů a  $N_{i,p}$  jsou bázové fce stupně  $p$ .

Možnosti ovlivňování tvaru křivky:

- polohami řídících bodů  $\mathbf{P}_i$
- stupněm křivky  $p$
- uzlovým vektorem  $\Xi = \{\xi_1, \xi_2, \dots, \xi_{n+p+1}\}$

Druhy B-spline křivek:

- otevřená, **ukotvená**, uzavřená
- uniformní (rovnoměrná), neuniformní (rozdíl přírůstků parametrů)
- **aproximační**, interpolační



# B-spline varianta MKP - 1D případ

---

Piegl, L., Tiller, W. *The NURBS Book, 2nd Edition.* Springer-Verlag, 1997.

Pro daný uzlový vektor  $\Xi = \{\xi_1, \xi_2, \dots, \xi_{n+p+1}\}$  jsou B-spline bázové funkce definovány rekurzivě.

Pro nultý stupeň ( $p = 0$ ) jsou po částech konstantní funkce dány

$$N_{i,0}(\xi) = \begin{cases} 1 & \text{jestliže } \xi_i \leq \xi \leq \xi_{i+1} \\ 0 & \text{jinak} \end{cases}$$

Pro vyšší stupně  $p = 1, 2, 3, \dots$  platí

$$N_{i,p}(\xi) = \frac{\xi - \xi_i}{\xi_{i+p} - \xi_i} N_{i,p-1}(\xi) + \frac{\xi_{i+p+1} - \xi}{\xi_{i+p+1} - \xi_{i+1}} N_{i+1,p-1}(\xi)$$

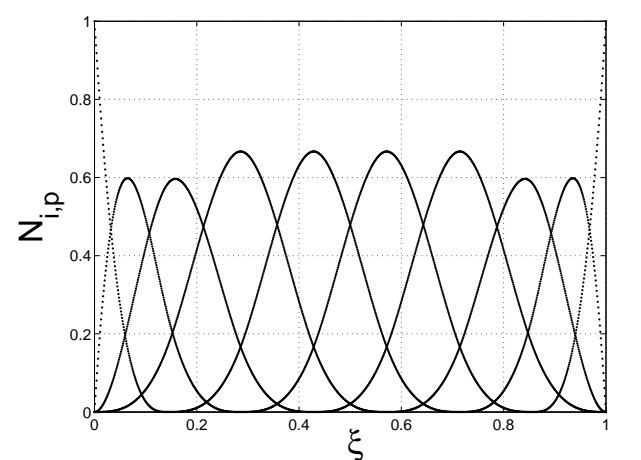
Aproximace pole posuvů  $u^h$  pomocí B-spline bazových funkcí je dáno

$$u^h(\xi) = \sum_{i=1}^n N_{i,p}(\xi) u_i^B,$$

kde  $u_i^B$ ,  $i = 1, 2, \dots, n$  jsou hodnoty v řídících bodech.

# Příklad B-spline bázových funkcí

stupeň  $p = 3$ , řídících bodů  $n = 10$ , rovnoměrný uzlový vektor



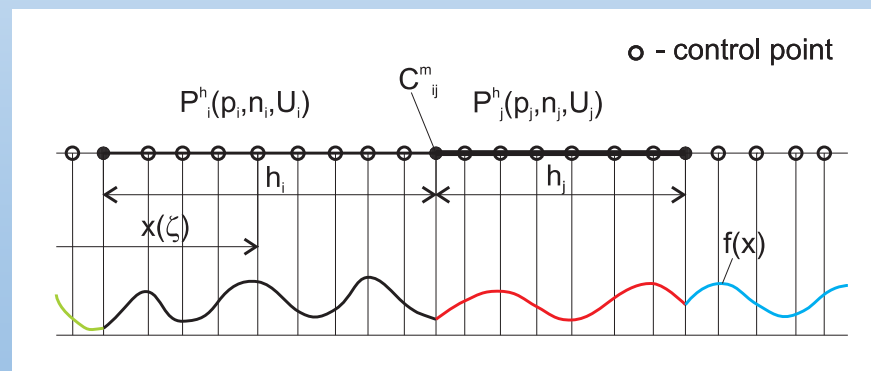
Základní vlastnosti:

- Rozklad jedničky, platí:  $\sum_{i=1}^n N_{i,p}(\xi) = 1$
- Malá podpora  $N_{i,p}$  a nenulové pouze na intervalu  $[\xi_i, \xi_{i+p+1}]$
- B-spline bázové funkce jsou nazáporné:  $N_{i,p}(\xi) \geq 0 \forall \xi$
- $C^{p-k}$  po částech spojité polynomy,  $k$  je stupeň násobnosti řídícího bodu

# B-spline varianta MKP - 1D případ

Aproximované pole posuvů pomocí B-spline může být ovlivněno:

- délkou B-spline segmentu ( $h$ -refinement)
- stupněm splinů ( $p$ -refinement)
- počtem řídících bodů ( $k$ -refinement)
- polohou řídících bodů (linearní versus nelinearní parametrizace)
- násobností uzlu v uzlovém vektoru  $\Xi$
- $C^m$  spojitostí mezi B-spline segmenty,  $m < p - 1$  stupeň spojitosti mezi segmenty





# Příklad matice tuhosti

Lagrange -  $p = 2$ , NELEM = 5, NNOD = 11

	1	2	3	4	5	6	7	8	9	10	11
1	35/3	-40/3	5/3	0	0	0	0	0	0	0	0
2	-40/3	80/3	-40/3	0	0	0	0	0	0	0	0
3	5/3	-40/3	70/3	-40/3	5/3	0	0	0	0	0	0
4	0	0	-40/3	80/3	-40/3	0	0	0	0	0	0
5	0	0	5/3	-40/3	70/3	-40/3	5/3	0	0	0	0
6	0	0	0	0	-40/3	80/3	-40/3	0	0	0	0
7	0	0	0	0	5/3	-40/3	70/3	-40/3	5/3	0	0
8	0	0	0	0	0	0	-40/3	80/3	-40/3	0	0
9	0	0	0	0	0	0	5/3	-40/3	70/3	-40/3	5/3
10	0	0	0	0	0	0	0	0	-40/3	80/3	-40/3
11	0	0	0	0	0	0	0	0	5/3	-40/3	35/3

B-spline -  $p = 2$ ,  $n = 11$

	1	2	3	4	5	6	7	8	9	10	11
1	1460/189	-1030/189	-430/189	0	0	0	0	0	0	0	0
2	-1030/189	1745/189	-400/189	-5/3	0	0	0	0	0	0	0
3	-430/189	-400/189	1775/189	-10/3	-5/3	0	0	0	0	0	0
4	0	-5/3	-10/3	10	-10/3	-5/3	0	0	0	0	0
5	0	0	-5/3	-10/3	10	-10/3	-5/3	0	0	0	0
6	0	0	0	-5/3	-10/3	10	-10/3	-5/3	0	0	0
7	0	0	0	0	-5/3	-10/3	10	-10/3	-5/3	0	0
8	0	0	0	0	0	-5/3	-10/3	10	-10/3	-5/3	0
9	0	0	0	0	0	0	-5/3	-10/3	1775/189	-400/189	-430/189
10	0	0	0	0	0	0	0	-5/3	-400/189	1745/189	-1030/189
11	0	0	0	0	0	0	0	0	-430/189	-1030/189	1460/189

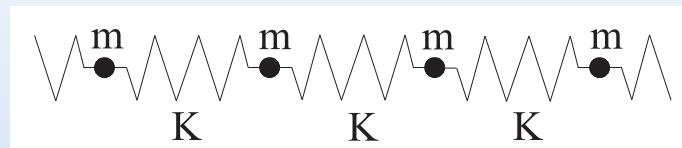


# Prostorová disperze

Brillouin, L.: *Wave Propagation in Periodic Structures.*  
Dover Publications, Inc., New York 1953.

Pohybová rovnice

$$\ddot{u}_j = \omega_0^2(u_{j-1} - 2u_j + u_{j+1})$$



Řešení

$$u_j(t) = U_0 e^{ij\psi} e^{i\omega t}$$

kde  $\psi = K + ib$ ,  $K \in < -\pi, \pi >$

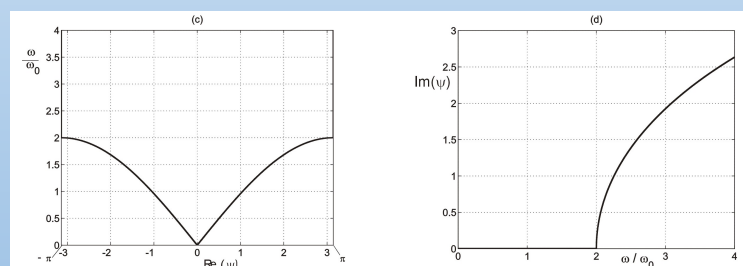
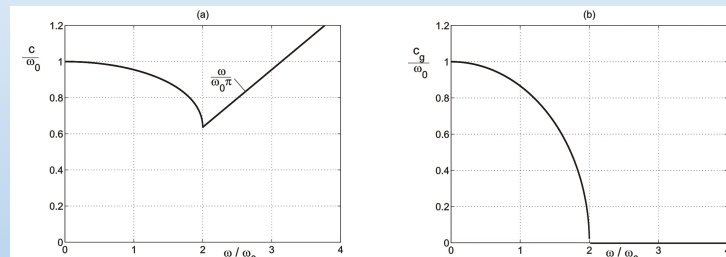
Pro  $\omega/\omega_0 < 2$  - vlnové řešení

$K \neq 0$  a  $b = 0$

disperzní vztah  $\omega = 2\omega_0 |\sin(K/2)|$

Pro  $\omega/\omega_0 > 2$  - attenuating řešení

$K = \pi$  a  $b \neq 0$





# Disperzní analýza

---

Thompson, L.L., Pinsky, P.M. Complex wavenumber Fourier analysis of the p-version finite element method. *Computational Mechanics*, **13**(4), 255-275, 1994.

Disperzní vztah

$$\omega = \omega(k^h)$$

Předpokládané řešení - Fourierova analýza

$$u_i^h = A_i e^{i(\psi^h x_i - \omega t)}$$

Diskrétní vlnové číslo

$$k^h = \operatorname{Re} \psi^h$$

Intenzita zeslabování (attenuation)

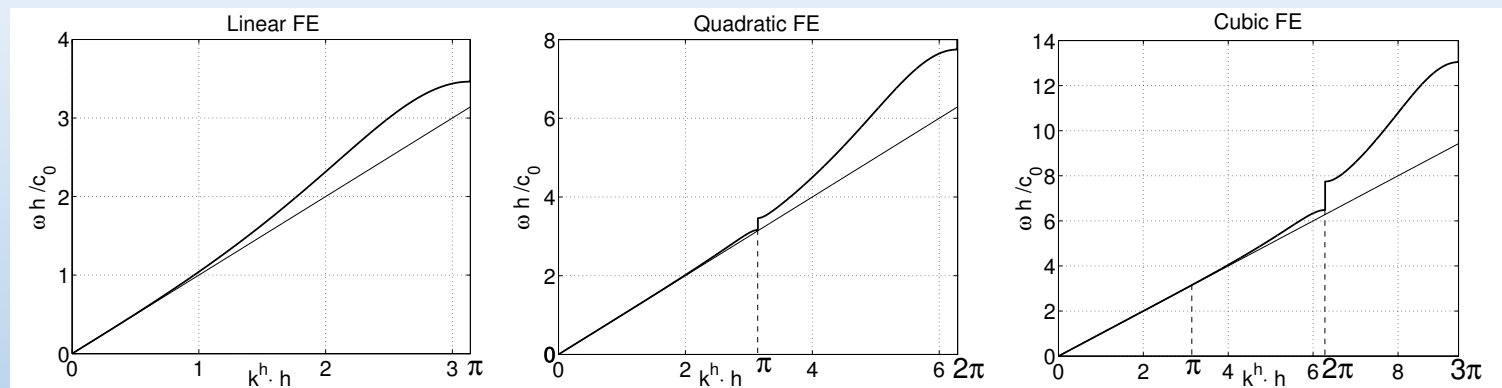
$$b = \operatorname{Im} \psi^h$$

Disperzní chyba

$$c^h = \omega(k^h)/k^h, \quad \text{měřena pomocí } c^h/c_o$$

# Disperzní diagramy - klasická MKP

Thompson, L.L., Pinsky, P.M.: *Complex wavenumber Fourier analysis of the p-version finite element method. Computational Mechanics*, Vol. 13(4), 255-275, 1994.



Maximální disperzní chyba roste se stupněm polynomu  $p$ .

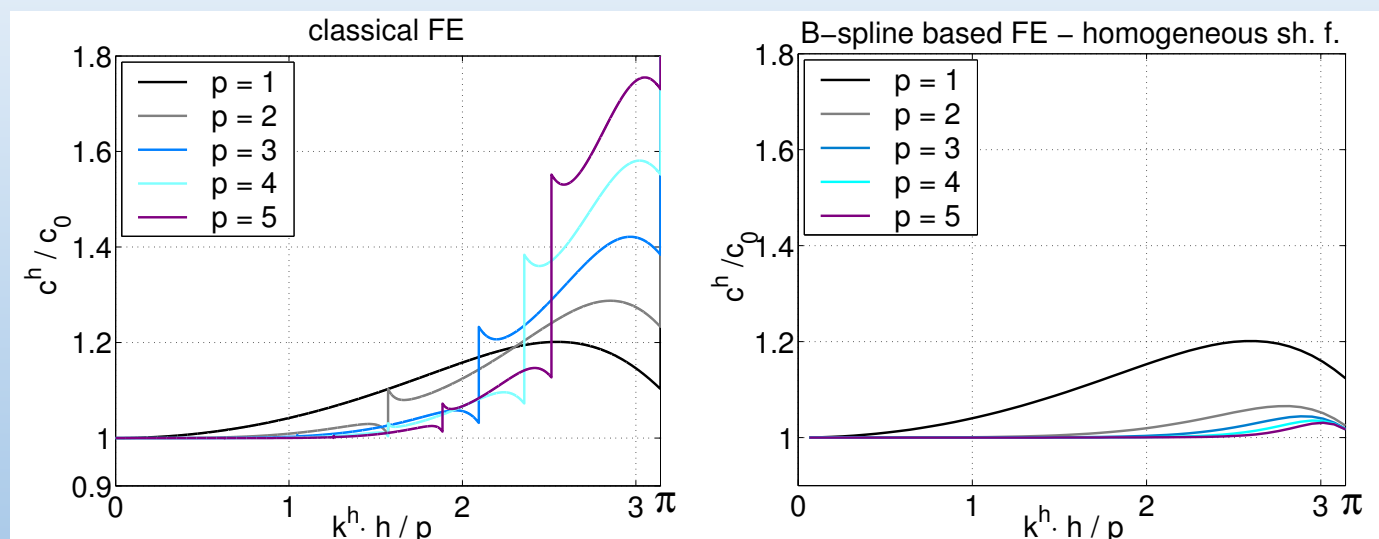
Existují optické větve - vícehmotové soustavy.

Pro vyšší hodnoty  $p$  nastává prodloužení oblasti dovolených vlnových délek a frekvencí s dobrou disperzí.

$h$  je vzdálenost uzlů, popř. řídících bodů.

# B-spline MKP - homogenní bázové funkce

Hughes T.J.R., Reali A., Sangalli G. Duality and Unified Analysis of Discrete Approximations in Structural Dynamics and Wave Propagation: Comparison of p-method Finite Elements with k-method NURBS. *Comput. Methods Appl. Mech. Engrg.*, **197**, 4104-4124, 2008.

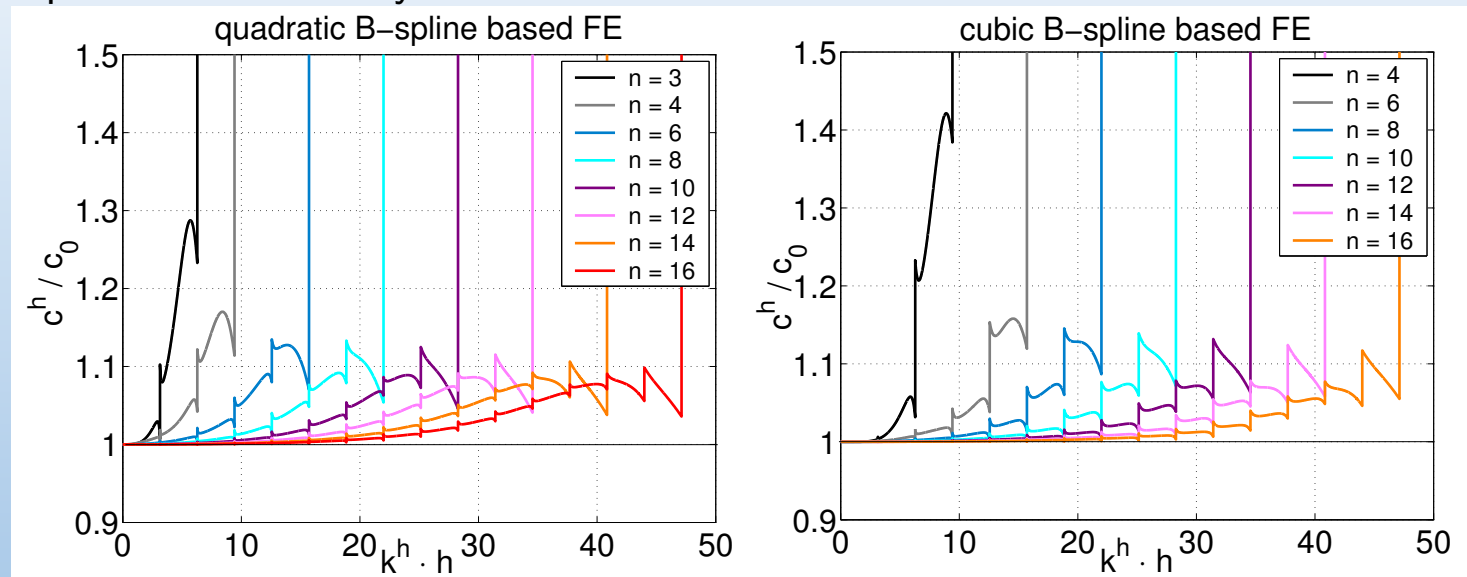


B-spline varianta MKP s homogenními bázovými funkcemi - disperzní chyby klesají se stupněm splinů oproti klasické MKP.

# B-spline MKP

## $C^0$ spojitosť mezi B-spline segmenty

Disperzní chyby pro různý počet rovnoměrně rozložených řídících bodů  
a pro uniformní uzlový vektor

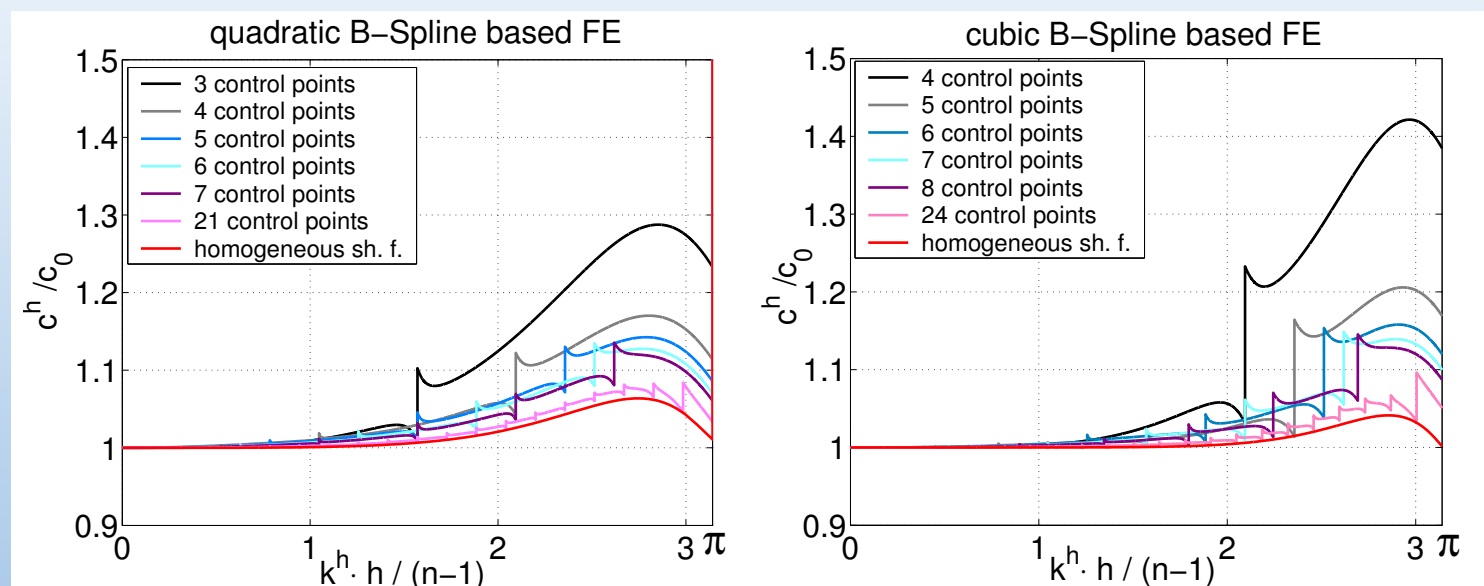


Disperzní chyby s počtem řídících bodů klesají a konvergují k řešení pro homogenní bázové funkce.  
Disperze Lagrangeových konečných prvků odpovídá B-spline prvku s  $n = p+1$  počtem rovnoměrně  
rozložených řídících bodů (Bézierův segment).

# B-spline MKP

## $C^0$ spojitosť mezi B-spline segmenty

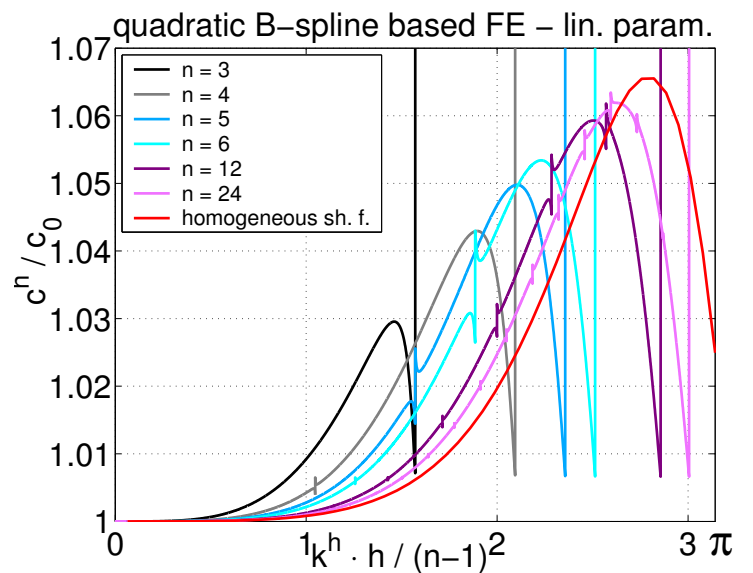
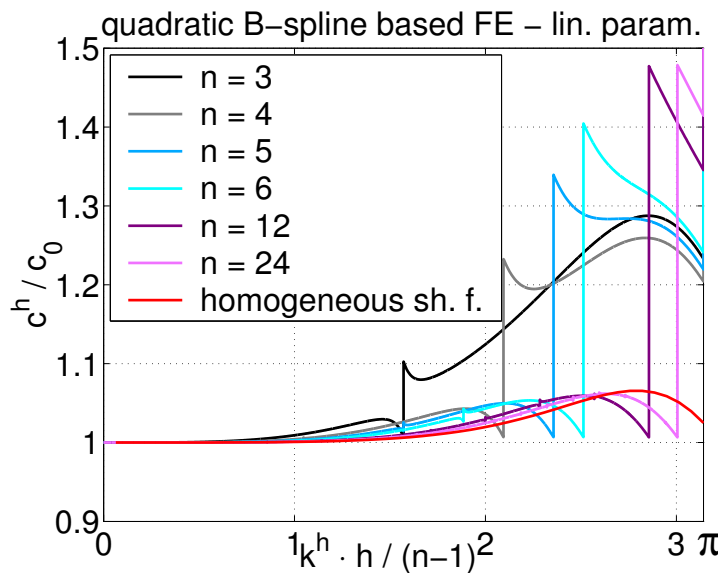
Normalizované disperzní křivky



B-spline varianta MKP - disperzní chyby pro vysoký počet řídících bodů konvergují k řešení pro homogenní bázové funkce.

# B-spline MKP - $C^0$ spojitost lineární parametrizace

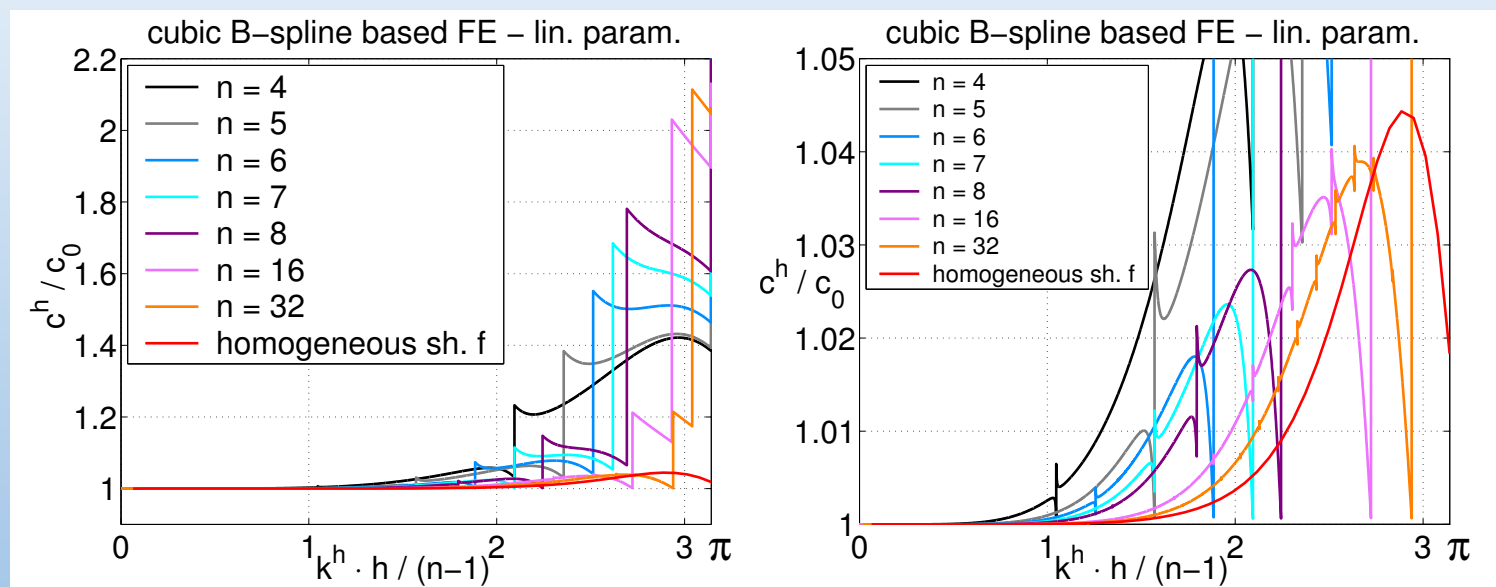
Disperzní chyby pro různý počet řídících bodů, kvadratický B-spline,  
lineární parametrizace - Jacobian  $J(\xi) = \left| \frac{dx(\xi)}{d\xi} \right| = const.$ , Greville abscissae



Nejvyšší disperzní větev vykazuje přibližně konstantní průběh disperzního zákona, odpovídající grupové rychlosti jsou tedy přibližně rovny nule.

# B-spline MKP - $C^0$ spojitost linear parametrization

Disperzní chyby pro různý počet řídících bodů, kubický B-spline, lineární parametrizace - Jacobian  $J(\xi) = \left| \frac{dx(\xi)}{d\xi} \right| = const.$ , Greville abscissae



Vyskytují se dvě nejvyšší disperzní větve s přibližně konstantním průběhem disperzního zákona, odpovídající grupové rychlosti jsou tedy přibližně rovny nule.



# B-spline MKP - optimalizace parametrizace

---

Stanovení poloh řídících bodů lze přeformulovat na optimalizační úlohu s cílem minimalizovat disperzní chybu v celém rozsahu dovolených vlnových čísel  $k^h = <0, k_{max}^h>$ .

Optimalizační úloha: nalézt  $\mathbf{x}_P^{opt} = \arg (\min F(\mathbf{x}_P))$ , kde  $F(\mathbf{x}_P)$  je **cílová funkce**.

Např.  $F(\mathbf{x}_P) = \frac{\int_0^{k_{max}^h} |c^h(\mathbf{x}_P) - c_o| dk^h}{k_{max}^h}$ .

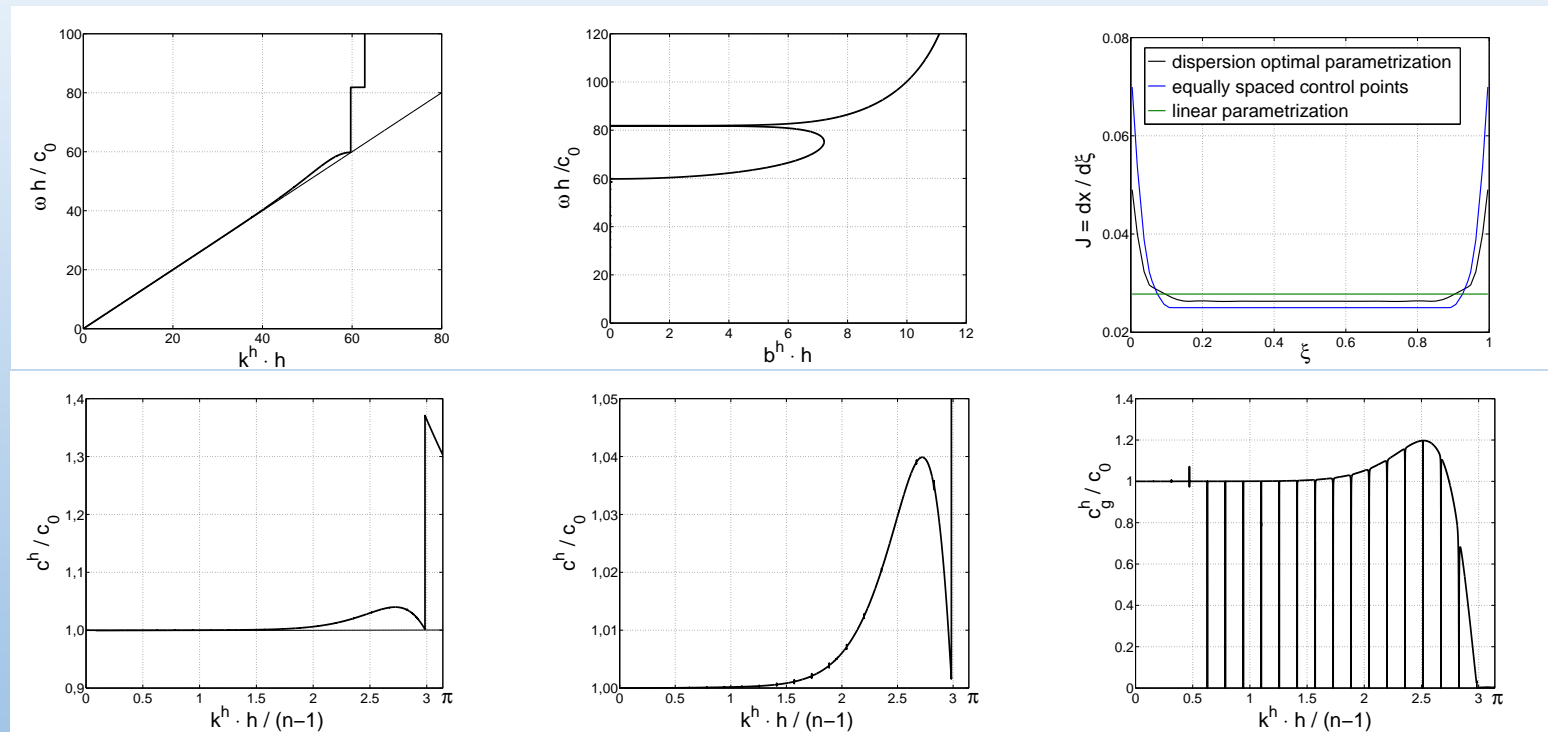
Výpočet cílové funkce  $F(\mathbf{x}_P)$  je proveden numerickou integrací - lichoběžníkové pravidlo.

Optimalizační metoda - funkce *fminsearch* v prostředí Matlab.

Počáteční odhad poloh řídících bodů  $\mathbf{x}_p$  je zvolen pro lineární parametrizaci.

# B-spline MKP - $C^0$ spojitost optimalizovaná parametrizace

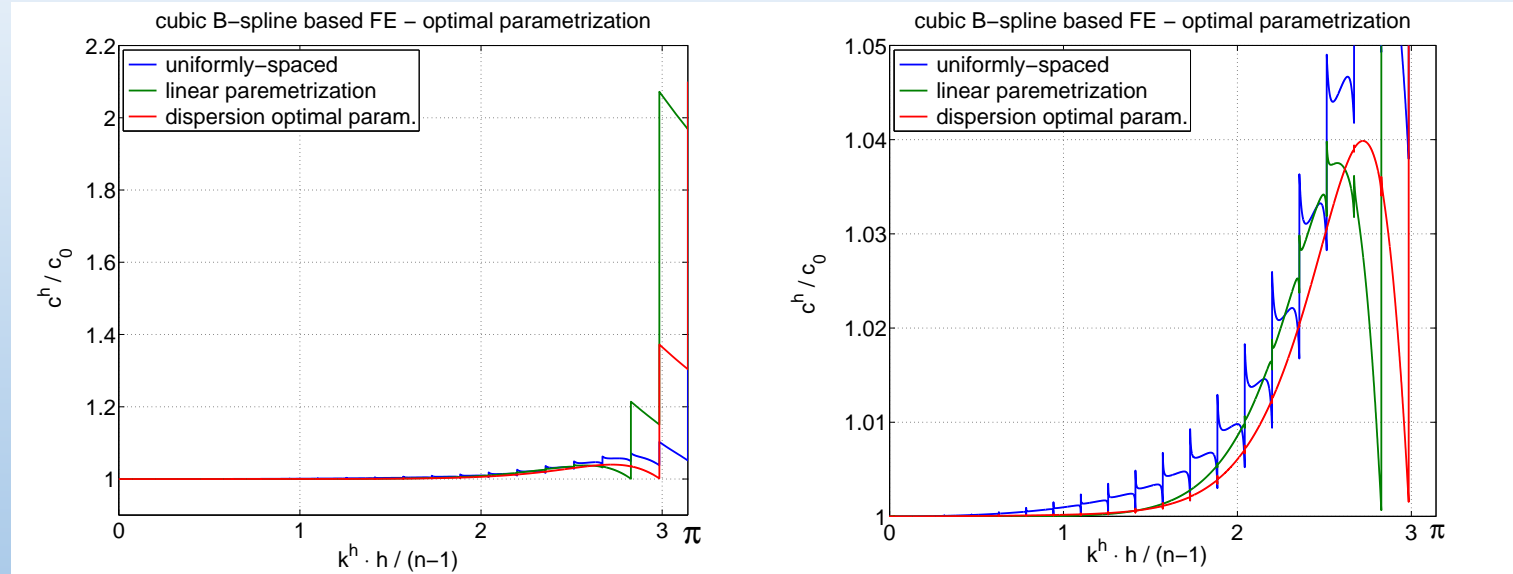
Disperzní diagramy pro  $n = 21$  řídících bodů, kubický B-spline



# B-spline MKP

## $C^0$ spojitost mezi B-spline segmenty

Disperzní diagramy pro  $n = 21$  řídících bodů, kubický B-spline,  
porovnání parametrizací



Dovolená numerická vlnové čísla  $|k^h h| < (n-2)\pi$ . Maximální disperzní chyba fázové rychlosti je nižší než 4% v celém dovoleném frekvenčním pásmu. Nejvyšší disperzní větev vykazuje přibližně konstantní průběh. Z toho vyplývá nulová grupová rychlosť - rozruch se již prostředím nešíří.



# Conclusions and summary

---

- Klasické Lagrangeovy konečné prvky produkují optické módy a falešné oscilace, vyskytují se oblasti mtrvých frekvenčních pásem (band gaps).
- Disperzní chyby MKP pro B-spline bázové funkce s rostoucím stupněm klešají. Výhodnější je vkládat nové řídící body než segmenty s  $C^0$  spojitostí. Zlepšení disperze lze docílit [optimalizovanou nelineární parametrizací](#). Lze nalézt takovou parametrizaci, že vliv  $C^0$  spojitosti na rozhraní jednotlivých B-spline segmentů lze z hlediska disperze eliminovat.
- MKP založená na spline reprezentaci má velký potenciál k úspěšnému použití pro numerické řešení úloh kmitání, šíření vln napří a rázových vln v tělesech.
- Další práce: vhodná časová schémata pro B-spline variantu MKP a diagonalizace matice hmotnosti. Po částech spojité trigonometrické spliny.
- R. Kolman, J. Plešek, M. Okrouhlík, D. Gabriel, Spatial dispersion and attenuation analysis of B-spline based finite element method in one-dimensional elastic wave propagation.  
*In preparation.*

Děkuji za pozornost.